

بررسی حساسیت‌های پرتوی و نوری ایندوسیانین گرین روی رده‌های سلولی انسانی DFW و MCF7

دکتر آمنه سازگارنیا^۱، دکتر سید محمدحسین بحرینی طوسی^۲، علیرضا متظرابدی^{*}، دکتر سید امیر آل داوود^۳، دکتر حبیب الله اسماعیلی^۴

خلاصه

مقدمه: در این تحقیق با هدف بهره‌گیری از منابع غیرلیزری در درمان‌های فتواینمیک، حساسیت نوری ایندوسیانین گرین برای استفاده به عنوان داروی حساس به نور و همچنین حساسیت پرتوی آن برای استفاده در پرتو درمانی مورد بررسی قرار گرفته است.

روش: مطالعه بر روی رده‌های سلولی انسانی مشتق شده از سرطان‌های پستان و ملاتوما بر اساس طیف‌های جذبی پهن ایندوسیانین گرین با استفاده از نور غیرهمدوس انجام شده است. بدین‌منظور دوزهای متفاوتی از ایندوسیانین گرین، نور و پرتوهای ایکس برای تعیین سمیت شیمیایی، نوری و پرتوی و نیز خواص حساس‌کنندگی نوری و پرتوی این ماده بررسی شد. پس از ۲۴ ساعت انکوباسیون سلول‌ها با ایندوسیانین گرین گروه‌های درمانی مستقل تحت تابش 30 ± 20 و 10.8 ژول بر سانتی‌مترمربع نور در محدوده طول موج 730 ± 20 نانومتر یا 2 و 4 گری پرتوی ایکس 100 kV_p واقع شدند. تأثیر عوامل درمانی بر بقای سلول‌ها بر اساس آزمون امتی تی ارزیابی گردید.

یافته‌ها: یافته‌ها عدم سمیت شیمیایی ایندوسیانین گرین، حساسیت نوری آن و بازده درمانی مناسب در درمان فتواینمیک با نور غیرهمدوس در ناحیه 730 ± 20 نانومتر و همچنین واستگی کارایی درمان به دوز نوری است. اما اثر همیاری بین ایندوسیانین گرین و پرتو مشاهده نشد.

نتیجه‌گیری: با توجه به نتایج حاصل می‌توان از ایندوسیانین گرین به عنوان یک داروی حساس به نور در ناحیه 730 ± 20 نانومتر استفاده نمود. از آنجا که تفاوت معنی‌داری در بقای سلولی بین گروه‌های دریافت‌کننده ایندوسیانین گرین و پرتو با گروه‌هایی که تنها پرتودهی شده‌اند، در هیچ یک از رده‌های سلولی دیده نمی‌شود، نمی‌توان از ایندوسیانین گرین به عنوان یک داروی حساس به پرتو استفاده کرد.

واژه‌های کلیدی: درمان فتواینمیک، سرطان پستان، ملاتوما، ایندوسیانین گرین، حساسیت نوری، حساسیت پرتوی، نور غیرهمدوس

۱- استادیار گروه فیزیک پزشکی و مرکز تحقیقات فیزیک پزشکی، دانشگاه علوم پزشکی مشهد
۲- استاد گروه فیزیک پزشکی و مرکز تحقیقات فیزیک پزشکی، دانشگاه علوم پزشکی مشهد
۳- مری گروه فیزیک پزشکی، دانشکده پزشکی، دانشگاه علوم پزشکی کرمان
۴- استادیار گروه رادیوتراپی و مرکز تحقیقات سرطان بیمارستان امید، دانشگاه علوم پزشکی مشهد
۵- استادیار گروه آمار حیاتی، دانشگاه علوم پزشکی مشهد

*نویسنده مسؤول، آدرس: آزمایشگاه فیزیک پزشکی، دانشکده پزشکی، کرمان • آدرس پست الکترونیک: a.abadi@kmu.ac.ir

دیافت مقاله: ۱۳۸۷/۸/۸

دیافت مقاله اصلاح شده: ۱۳۸۷/۲/۱۷

پذیرش مقاله: ۱۳۸۷/۲/۲۳

مقدمه

کرده که ۷۹۱۰ نفر آنها جان خود را در پی ابتلا به این بیماری از دست داده‌اند (۴).

جراحی موضعی و رادیوتراپی در زمرة درمان‌های متداول عود مجدد و متاستازهای سطحی ملانوما و سرطان پستان به‌شمار می‌روند (۵). اما با توجه به عوارض جانبی این درمان‌ها اندیشیدن تدابیری برای طراحی روش‌های غیرتهاجمی جدید ضروری است. در این میان درمان تکرارپذیر فتوداینامیک برای متاستازهای پوستی، روش کمکی مؤثری به‌نظر می‌رسد. همچنین استفاده از حساس‌کننده‌های پرتوی در پرتو درمانی می‌تواند با کاهش دوز پرتوی موردنیاز موجبات حفظ بافت‌های سالم را فراهم آورد.

درمان فتوداینامیک که درمان فتوشیمیابی نیز خوانده شده، یک درمان غیرتهاجمی است که در راستای برطرف کردن موانع موجود در درمان تومورهای سطحی کوچک مؤثر واقع شده‌است (۶). این رویکرد جالب درمانی از همیاری دو عامل شیمیابی و فیزیکی بهره‌گیری می‌کند که عبارتند از یک حساس‌کننده نوری که در اثر تحریک نوری و انتقال انرژی به اکسیژن مولکولی، رادیکال آزاد و اکسیژن یگانه (Single Oxygen) تولید نموده، تأثیر تغیری این محصولات سمی بر ساختمان‌های سلولی سبب مرگ سلول می‌شود و دیگری انرژی نورانی با طول موج مناسب که بتواند ماده حساس‌کننده را در بافت مورد نظر فعال کند (۷).

از جمله محدودیت‌های درمان‌های فتوداینامیک عمق نفوذ کم نورمنئی در بافت‌ها می‌باشد که این روش را تنها برای تومورهای در دسترس و با ضخامت کم ارزشمند می‌سازد. دفع آرام مولکول‌های حساس‌کننده از بدن و آثار نامطلوب آن بر سایر بافت‌ها نیز از مشکلات دیگر حساس‌کننده‌های نوری است. در سال‌های اخیر تلاش شده با طراحی داروهای جدید و هدفمند با طول موج فعال‌سازی در ناحیه فروسرخ نزدیک، گام‌هایی در جهت غلبه بر این موانع برداشته شود (۷).

سرطان‌های پستان و پوست از خطرناک‌ترین بدخیمی‌هایی هستند که بسیاری از جوامع بشری با آن دست به گریبانند. در حال حاضر سرطان پستان شایع‌ترین نوع سرطان در زنان است، به‌طوری که در هر سال بیش از یک میلیون زن مبتلا به این سرطان شناسایی می‌شوند و از این تعداد حدود ۳۷۰۰۰ نفر جان خود را از دست می‌دهند (۱). با این وجود ۷۰-۸۰ درصد از مبتلایان به سرطان پستان در مراحل ابتدایی قابل درمان بوده و کمک شایان شیوه‌هایی نظیر شیمی‌درمانی و هورمون‌درمانی در بهبودی این بیماران به اثبات رسیده است. این امر در حالی است که احتمال عود مجدد یا متاستازهای حاصل از این بیماری وجود دارد (۲). در شیوه‌های درمانی رایج سرطان پستان، جراحی، هورمون‌درمانی، شیمی‌درمانی و پرتو درمانی به چشم می‌خورد. البته در دهه‌های اخیر روش‌های درمان دستنوش تغییراتی شده و با این تفکر که بدخیمی مذکور صرفاً موضعی نیست و امکان انتشار متاستازهای میکروسکوپی آن در بدن و بافت‌های اطراف وجود دارد، درمان می‌شود. در گروه‌های خاصی از بیماران، جراحی همراه با شیمی‌درمانی یا پرتو درمانی انجام می‌شود. پرتو درمانی بعد از عمل جراحی احتمال عود موضعی را کاهش می‌دهد (۳).

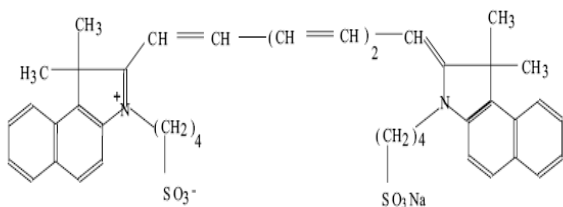
مانلونما نیز یکی از شایع‌ترین اشکال سرطان پوست و ناشی از رشد بدخیم سلول‌های ملانوسیت است. این سلول‌ها رنگدانه تیره پوست، مو، چشم و خال‌های بدن را تولید می‌کنند. از این رو تومورهای ملانوما اکثراً قهوه‌ای و یا سیاه هستند. البته در موارد معدودی نیز سرطان‌های ملانوم رنگدانه تولید نکرده و به رنگ‌های صورتی، قرمز و یا بنفش ظاهر می‌شوند. این نوع سرطان اگر در مراحل اولیه تشخیص داده شود، درمان‌پذیر است، اما چنانچه حالت تهاجمی پیدا کرده و به سایر بافت‌های بدن سرایت کند غیر قابل درمان خواهد بود. انجمن سرطان آمریکا در سال ۲۰۰۶ حدود ۶۲۱۹۰ مورد ملانوما در این کشور شناسایی

DFW نیز یک زیر رده سلولی دیپگمانته شده است که از سلول‌های انسانی DFB از سرطان ملانوما مشتق شده است (۹).

هر دو رده سلولی در محیط کشت حاوی ۲ میلی‌مولار گلوتامین، ۱۰٪ سرم جنین گاوی (F.C.S) ۱۰۰ واحد بر میلی‌لیتر پنی‌سیلین و ۱۰۰ میکروگرم بر میلی‌لیتر استرپتومایسین و در حضور ۵٪ دی‌اکسیدکربن در انکوباتور ۳۷ درجه سانتی‌گراد کشت داده شدند. هر بار که سلول‌ها به فاز نمایی رشد می‌رسیدند و به صورت تک لایه سطح فلاسک را می‌پوشاندند (حدود $10^{4} \times 10^{5}$) سلول در هر سانتی‌مترمربع)، با استفاده از محلول ۰/۲۵ درصد تریپسین-EDTA از کف فلاسک جدا و به فلاسک‌های جدید منتقل می‌شوند. محیط کشت سلول‌ها هر ۲-۳ روز یک بار تعویض می‌گردید. سرم جنین گاوی و تریپسین-EDTA از شرکت بیوژن (Biogene)، محیط کشت سلولی RPMI 1640 از شرکت همیدیا (HIMEDIA)، امتی تی از شرکت مرک (Merck)، و تریپان‌بلو از شرکت سیگما (Sigma) خریداری شدند.

مشخصات ایندوسیانین گرین

پودر ایندوسیانین گرین با شماره محصول MG25-12633 از شرکت سیگما خریداری شد. ساختار شیمیایی این رنگ دارو با جرم مولکولی ۷۶۴ در شکل ۱ نشان داده شده است.



شکل ۱. ساختار شیمیایی ایندوسیانین گرین

غاظت‌های مورد نیاز از انحلال پودر در آب دیونیزه تهیه و پس از عبور از فیلتر ۰/۲ میکرومتر در لوله‌های استریل تقسیم و مورد استفاده قرار گرفت. ابتدا بیناب جذبی

پیش‌بینی می‌شود وجود خاصیت حساس‌کنندگی پرتوی در یک حساس‌کننده نوری بتواند امکان فعال‌سازی هم‌زمان نوری و پرتوی را به منظور افزایش عمق درمان فراهم آورد. از طرف دیگر عدم دسترسی به منابع لیزری در کشورهای درحال توسعه و جهان سوم محدودیت دیگری است که بکارگیری درمان‌های فتواینامیک را محدود ساخته است.

در این تحقیق سعی بر آن بوده که فعال‌سازی نوری حساس‌کننده‌ای که طیف جذبی پنهانی در ناحیه فروسرخ داشته باشد، با استفاده از نور غیرلیزری مورد مطالعه قرار گرفته، همچنین حساسیت پرتوی آن به منظور بررسی امکان فراهم‌آمدن عمق درمان بیشتر با تابش اشعه ایکس نیز بررسی شود.

در همین راستا فعال‌سازی نوری با نور غیرهمدوس و حساسیت پرتوی ایندوسیانین گرین بر روی دو رده سلولی مشتق شده از سرطان‌های پستان و ملانومای انسانی مورد تحقیق قرار گرفت. انتخاب ایندوسیانین گرین بر مبنای طیف جذبی نسبتاً پهن آن در غاظت‌های بالا در ناحیه فروسرخ نزدیک و به دنبال آن افزایش عمق درمان می‌باشد. با توجه به وابستگی ضریب جذب ایندوسیانین گرین به غاظت و عدم سمیت این دارو حتی در دوزهای بالا استفاده از آن به عنوان یک ماده حساس به نور در درمان سرطان‌های سطحی و متاستازهای موضعی کوچک مناسب به نظر می‌رسد.

روش بررسی

رده‌های سلولی و شرایط کشت آنها

رده‌های سلولی DFW و MCF7 از بانک سلولی انستیتو پاستور ایران خریداری گردید. رده سلولی MCF7 از تومور آدنوکار سینومای انسانی پستان به دست آمده و یکی از پر کاربردترین رده‌های سلولی در زمینه تحقیقات برونتی سرطان پستان به شمار می‌آید. این رده سلولی از بعضی جهات نظیر دارابودن گیرنده‌های استروژن به سلول‌های متمایز شده اپی‌تیلیال پستانداران شباهت دارد (۸). رده سلولی

گردید.

در بخش سوم پس از ۲۴ ساعت انکوباسیون سلول‌ها در غلظت‌های صفر و ۵۰ میکرومولار ایندوسیانین گرین، حساسیت پرتوی این ماده و اثر آن بر تکثیر و بقای سلولی بررسی شد. در این مرحله پس از تمام زمان انکوباسیون و شستشوی سلول‌ها، هر نمونه به دو بخش تقسیم گردید. یکی از آنها یک جلسه تحت تابش اشعه ایکس با انرژی 100 kV_p با دوزهای ۲ یا ۴ گری قرار گرفت و دیگری بدون تابش در شرایط مشابه باقی ماند.

شرایط نوردهی

برای انجام نوردهی از پلیت‌های ۲۴ خانه استفاده گردید. به منظور جلوگیری از تابش نور پراکنده از نمونه تحت نوردهی به سایرین، هر نمونه به تنها یکی نوردهی گردید. برای پیشگیری از افزایش دمای سلول‌ها نمونه‌های سلولی مورد مطالعه هنگام نوردهی، روی یخ قرار داده شدند. در تمام مدت نوردهی گروه کنترل نیز بر روی یخ در محیط تاریک نگهداری گردید.

نوردهی سلول‌ها با استفاده از منبع نورانی غیر همدوس لوماکیر (Luma-Care) مجهر به پروب‌های مشتمل بر رشتۀ‌های نوری با قطر ۲ میلی‌متر و قطر لکه نوری ۸ میلی‌متر، در طول موج 730 ± 20 نانومتر انجام گرفت. همگنی چگالی توان خروجی این سیستم $\pm 5\%$ مجهر به تنظیم کننده زمانی، با دقت 0.5% زمان تنظیم شده می‌باشد. (۱۰)

دانسیته توان خروجی پروب فیبر نوری توسط نورسنج CON-TROL-CUREIL1400 ساخت شرکت امریکایی UVPROCESS مجهر به آشکارساز نوری دارای پاسخ تخت اندازه‌گیری گردید. نوردهی سلول‌ها در دانسیته نوری ۴۵ میلی‌وات بر سانتی‌مترمربع و دوزهای $30, 60, 108$ ژول بر سانتی‌متر مربع انجام شد.

شرایط پرتودهی

برای پرتودهی سلول‌ها از پلیت‌های تک‌خانه استفاده گردید. جهت پرتودهی سلول‌ها از دستگاه X-ray سطحی

محلول‌های ایندوسیانین گرین در غلظت‌های مختلف توسط دستگاه اسپکتروفوتومتر مرئی-ماوراءالبصريّ ساخت شرکت شیمادزو مدل UV1700 در طول موج‌های $200-1000$ نانومتر به دست آمد.

درمان سلول‌ها

زمانی که تراکم سلولی در کف فلاسک کشت به حدود 85% رسید، سلول‌ها تریپسینه و از کف فلاسک جدا شدند و با استفاده از لام‌نوبار و میکروسکپ نوری تعداد و درصد بقای سلولی تعیین شد. سپس سوپانسیون سلولی با غلظت 1×10^9 سلول در هر میلی‌لیتر محیط کشت آماده و با ایندوسیانین گرین در غلظت‌های مورد نظر به مدت ۲۴ ساعت در دمای 37°C درجه سانتی گراد انکوبه گردید. سپس شستشوی سلول‌ها با محیط کشت انجام گرفت تا ملکول‌های داروی اضافی باقی مانده خارج از سلول‌ها از محیط عمل خارج شود. در مرحله بعد در صورت لزوم سلول‌ها تحت نوردهی و پرتودهی با دوزهای پیش‌بینی شده واقع شدند و ۲۴ ساعت بعد درصد بقای سلولی تعیین گردید.

مراحل درمان

ابتدا سمیت ایندوسیانین گرین مورد مطالعه قرار گرفت. بدین منظور یک گروه کنترل و ۵ گروه درمانی در نظر گرفته شد. سلول‌های MCF7 و DFW در گروه‌های درمانی با غلظت‌های $5, 10, 32, 50$ و 100 میکرومولار از ایندوسیانین گرین به مدت ۲۴ ساعت انکوبه شدند و پس از شستشوی سلول‌ها درصد بقا تعیین گردید. در بخش دوم برای بررسی اثرات مداخله گر نور بر بقای سلولی، گروه‌های مستقل متصل از سلول‌های MCF7 و DFW پس از ۲۴ ساعت انکوباسیون در غلظت‌های صفر، $32, 50$ و 100 میکرو مولار ایندوسیانین گرین به عنوان گروه‌های درمانی در نظر گرفته شد. هر یک از نمونه‌های اخیر به دو بخش تقسیم و یکی از آنها تحت تابش دوز نوری پیش‌بینی شده واقع و دیگری در شرایط مشابه در تاریکی نگهداری و ۲۴ ساعت بعد درصد بقای سلولی تعیین

استفاده از آزمون MTT پس از ۲۴ ساعت مورد تحقیق قرار گرفت. تمامی آزمایش‌ها حداقل سه بار تکرار و در هر مرحله حداقل ۸ نمونه مورد ارزیابی قرار می‌گرفت.

تحلیل‌های آماری

تجزیه و تحلیل آماری داده‌ها پس از انجام آزمون نرم‌الیتی و اطمینان از توزیع نرمال داده‌ها، با استفاده از روش آنالیز واریانس یک‌طرفه و تست توکی با استفاده از نرم‌افزار SPSS نسخه ۱۲ و رسم نمودارها در محیط اکسل انجام گرفته است.

نتایج

به منظور تعیین مناسب‌ترین طول موج جذب ایندوسیانین‌گرین و تعیین تأثیر غلظت بر طول موج قله جذب، ایندوسیانین‌گرین در غلظت‌های مختلف در آب حل شده و طیف جذبی آنها در طول موج‌های ۲۰۰ تا ۱۰۰۰ نانومتر با گاکام‌های یک نانومتر تعیین گردید. طیف جذب ایندوسیانین‌گرین در محدوده طول موج‌های ۲۰۰–۱۰۰۰ نانومتر در شکل ۲ نمایش داده شده است.

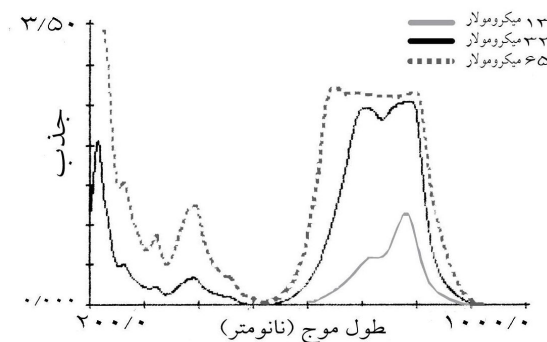
همان‌طور که مشاهده می‌شود مولکول آلى ایندوسیانین‌گرین دارای جذب قابل ملاحظه‌ای در ناحیه ۷۰۰–۸۰۰ nm می‌باشد که میزان آن با غلظت ایندوسیانین‌گرین تغییر می‌کند. با توجه به امکانات موجود وجود این قله‌های جذبی، درمان‌های فتوداینامیک در قله طول موج ۳۷۰ نانومتر انجام گردید.

همان‌طور که شرح آن رفت، در بخش اول این مطالعه سمیت ایندوسیانین‌گرین مورد بررسی قرار گرفت. اثرات ایندوسیانین‌گرین در غلظت‌های مختلف بر بقای سلولی پس از ۲۴ ساعت انکوباسیون در اشکال ۳ و ۴ نشان داده شده است. بر اساس این نتایج، ایندوسیانین‌گرین تا غلظت ۱۰۰ میکرومولار دارای سمیت در هیچ یک از رده‌های سلولی نیست. با نگاهی به نتایج مطالعات مشابه (۱۱) می‌توان ادعا کرد که ایندوسیانین‌گرین یک ماده سMI برای سلول‌ها به شمار نمی‌آید.

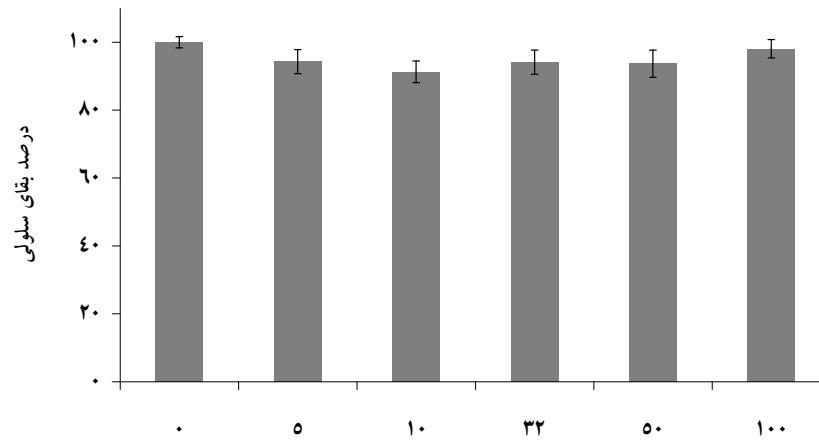
ساخت شرکت فیلیپس در شرایط 100 kV_p و 80 mA استفاده شد. هم‌چنین برای انجام پرتودهی از مخروط ۵ سانتی‌متر و فیلتر آلومینیومی $1/7\text{ mm}$ نیز استفاده شد. نمونه‌های سلولی در دوزهای ۲، ۴، ۶ و ۸ گری با آهنگ دوز 1114 rad/min تحت تابش قرار گرفتند. به دلیل محدودیت در شرایط انتخاب مخروطهای دستگاه X-ray از پلیت‌های استریل تک خانه استفاده شد. قبل از انجام پرتودهی برای اطمینان از عدم جذب و پراکندگی پرتو در لایه‌های پلیت به وسیله الکترومتر فارمر ۲۵۷۰/۱ ساخت شرکت ان-ای تکنولوژی انگلستان دزیمتری انجام شد، که نتایج حاکی از عدم جذب پرتو در مقایسه دو حالت قبل و بعد از قرار دادن پلیت بود. پرتودهی تمامی نمونه‌ها در دمای صفر درجه بر روی یخ انجام گردید. با توجه به عدم جذب و پراکندگی پلیت مورد استفاده و هم‌چنین ارتفاع ۲ میلی‌متری محیط کشت داخل چاهک‌ها ناحیه بیلد‌آپ (Build up) نیز در همان ضخامت در نظر گرفته شد.

سنجهش بقای سلولی

پس از انجام درمان‌های طراحی شده روی نمونه‌های مختلف، سلول‌ها در چاهک‌های پلیت‌های استریل ۹۶ خانه با تراکم سلولی ۵۰۰۰ سلول در هر چاهک تقسیم و به مدت ۲۴ ساعت در انکوباتور ۳۷ درجه قرار می‌گرفتند. بقای سلولی بر اساس توانایی میتوکندری در تبدیل ماده ام‌تی‌تی (MTT) به کریستال‌های فورمازان با استفاده از تست ام‌تی‌تی با تعیین جذب نوری محصول نهایی آزمایش ارزیابی گردید. بدین منظور محلول ام‌تی‌تی (غلظت $1/5$ میلی‌گرم بر میلی‌لیتر) به هر چاهک حاوی سلول اضافه و ۴ ساعت در دمای ۳۷ درجه انکوبه و رسوب سلولی حاصل در DMSO و بافر گلایسین حل و جذب نوری بلورهای فورمازان تشکیل شده توسط دستگاه الایزاریدر ساخت کمپانی آویرنس (AWARENESS) مدل ۳۲۰۰ در طول موج ۵۴۰ نانومتر اندازه گیری و درصد بقای سلولی هر نمونه در مقایسه با گروه کنترل محاسبه گردید. در کلیه موارد ضمن لحاظ کردن همه کنترل‌های ممکن، درصد بقای سلول با

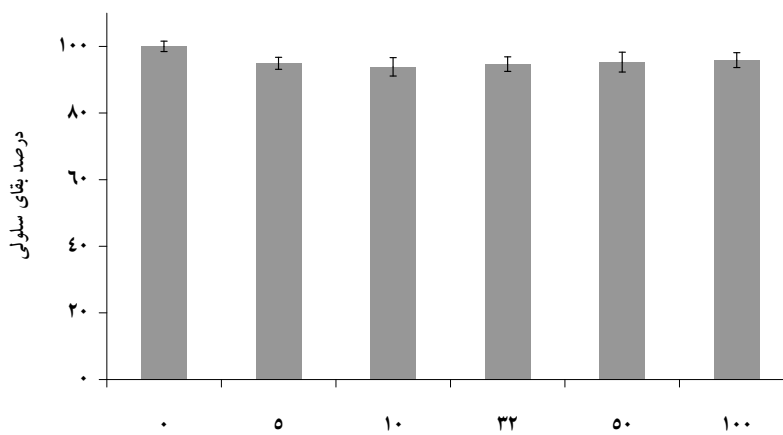


شکل ۲. منحنی طیف جذبی ایندوسیانین گرین در غلظت‌های ۱۳، ۳۲ و ۶۵ میکرومولار در آب.



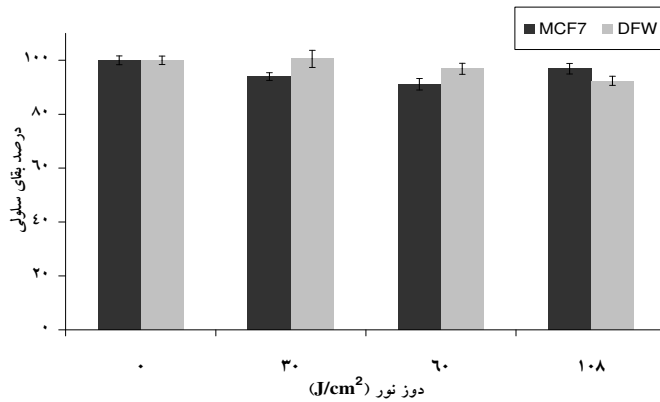
غلظت ایندوسیانین گرین (میکرومولار)

شکل ۳. درصد بقای سلول‌های MCF7 در حضور غلظت‌های مختلف از ایندوسیانین گرین، ۲۴ ساعت پس از درمان زمان انکوپاسیون سلول‌ها با دارو ۲۴ ساعت و داده‌ها یا لگر میانگین درصد بقای سلولی + خطای استاندارد پس از سه بار تکرار می‌باشند.

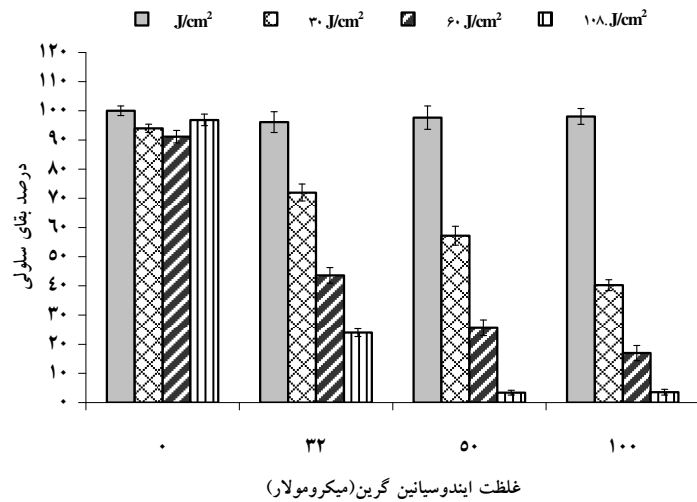


غلظت ایندوسیانین گرین (میکرومولار)

شکل ۴. درصد بقای سلول‌های DFW در حضور غلظت‌های مختلف از ایندوسیانین گرین ۲۴ ساعت پس از درمان زمان انکوپاسیون با ایندوسیانین گرین ۲۴ ساعت و داده‌ها یا لگر میانگین درصد بقای سلولی + خطای استاندارد پس از سه بار تکرار می‌باشند.



شکل ۵. درصد بقای سلول‌های *MCF7* و *DFW* دوزهای نوری مختلف در قله طول موج 730 نانومتر، 24 ساعت بعد از نوردهی زمان انکوپاسیون با ایندوسیانین گرین 24 ساعت و داده‌ها یانگر میانگین درصد بقای سلولی \pm خطای استاندارد پس از سه بار تکرار می‌باشند.

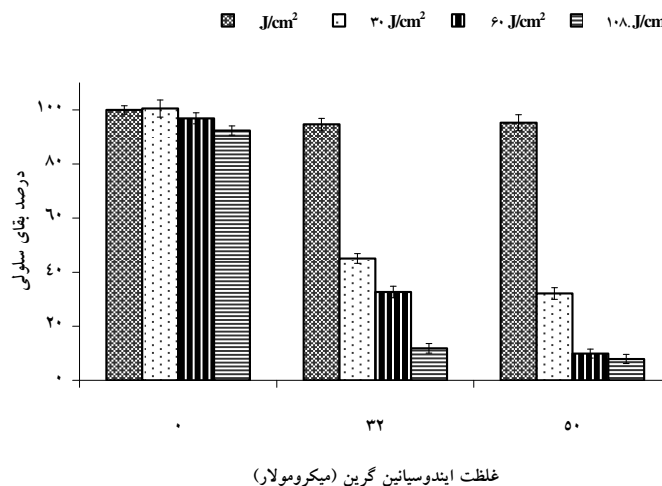


شکل ۶. تغییرات درصد بقای سلولی *MCF7* پس از دریافت دوزهای نوری مختلف در قله طول موج 730 نانومتر، 24 ساعت بعد از نوردهی زمان انکوپاسیون با ایندوسیانین گرین 24 ساعت و داده‌ها یانگر میانگین درصد بقای سلولی \pm خطای استاندارد پس از سه بار تکرار می‌باشند.

MCF7 می‌باشد. همان‌طور که مشاهده می‌شود، دوز نوری مورد نیاز برای مرگ بیش از 50 درصد از سلول‌های *MCF7* در غلهت 32 میکرومولار از دارو، 60 ژول بر سانتی‌متر مربع تعیین شده و این در حالی است که برای رسیدن به چنین نتیجه‌های در غلهت 100 میکرومولار، 30 ژول بر سانتی‌متر مربع نوردهی کفايت کرده است. این نتیجه یانگر تأثیر وابستگی غلهت دارو با دوز نوردهی بر بقای سلولی است.

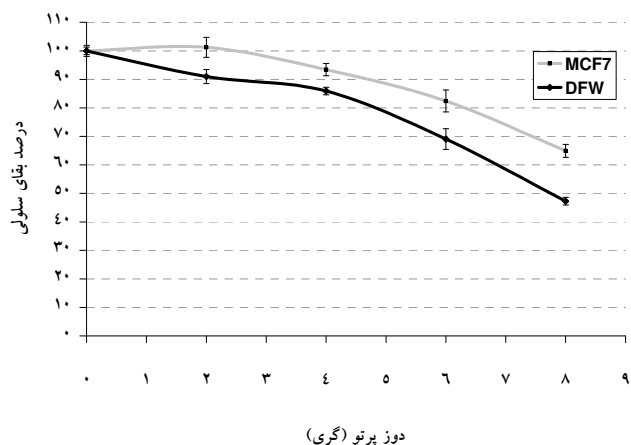
موضوع دوم مورد بررسی، اثر نور در دوزهای مختلف بوده که نتایج آن در شکل ۵ برای هر دو رده سلولی نشان داده شده‌است. با توجه به این داده‌ها می‌توان مشاهده کرد که نور نیز به تنها بی تأثیر معنی‌داری بر درصد بقای هیچ یک از رده‌های سلولی نداشته است.

شکل ۶ نشان‌دهنده اثرات نور غیرهمدوس با شار ابرزی 30 ، 60 و 108 ژول بر سانتی‌متر مربع در حضور ایندوسیانین گرین با غلهت‌های مختلف بر بقای سلول‌های



غلهٔ ایندوسیانین گرین (میکرومولار)

شکل ۷. تغییرات درصد بقای سلولی DFW در دوزهای نوری مختلف و طول موج 330 نانومتر مدت زمان انکویاسیون 24 ساعت و داده‌ها بیانگر میانگین درصد بقای سلولی +خطای استاندارد پس از سه بار تکرار می‌باشند.

شکل ۸. تغییرات درصد بقای سلولی با دوز پرتو روی رده‌های سلولی DFW و $MCF7$

سلول‌ها می‌باشند و این در حالی است که در مقایسه با گروه کنترل هیچ کدام از عوامل یاد شده به تنها یک تأثیری بر بقای سلول نداشته است. با توجه به این نتایج دوز نوری مورد نیاز برای مرگ بیش از نیمی از سلول‌های DFW نیز 30 ژول بر سانتی‌متر مربع تعیین شده است.

با توجه به شکل ۵ بدون حضور ایندوسیانین گرین تابش نور با شار انرژی 30 ، 60 و 108 ژول بر سانتی‌متر مربع تأثیر

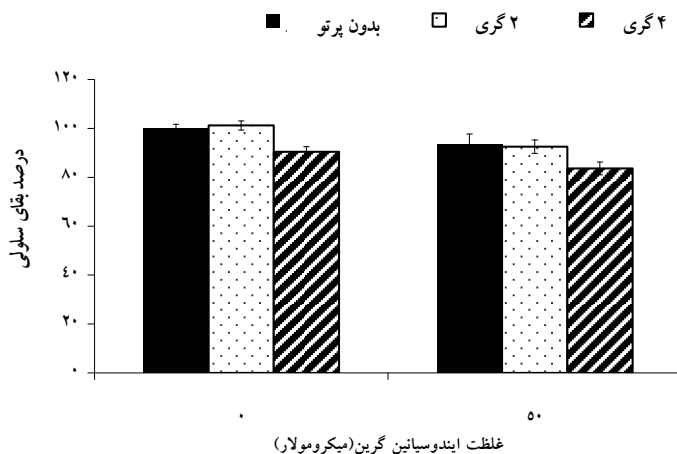
در هر دو رده سلولی در غلهٔ ایندوسیانین گرین تفاوت معنی‌داری بین گروه‌هایی که دوز نوری گوناگون دریافت کرده‌اند، دیده می‌شود. ($P \leq 0.004$).

شکل ۷ نیز بیانگر تأثیر همیاری دارو با نور روی درصد بقای سلول‌های DFW می‌باشد. باز دیگر دیده می‌شود که غلهٔ ایندوسیانین گرین تابش حساس‌کننده و دوز نور دو عامل مؤثر در مرگ

۴، ۶ و ۸ گری پرتوی ایکس در دو رده سلولی MCF7 و DFW که در شکل ۸ گزارش شده بررسی می‌شود. بر اساس این یافته‌ها دوز پرتوی مورد نیاز برای کشتن نیمی از سلول‌ها (LD_{50}) در رده سلولی MCF7 بیش از ۸ گری و برای رده‌ی DFW ۸ گری می‌باشد.

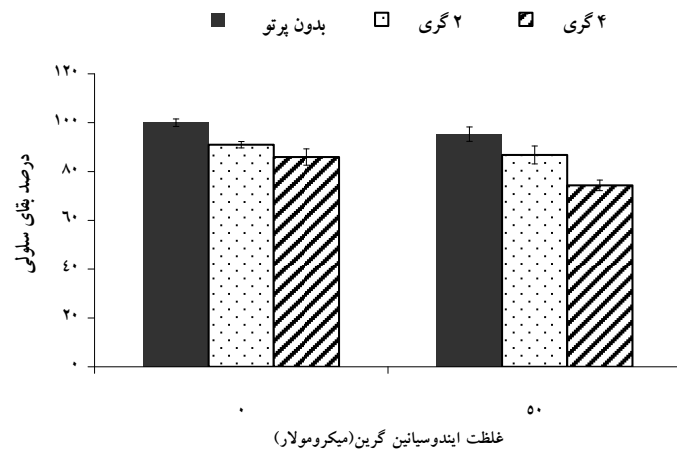
معنی‌داری بر بقای سلولی نداشته است. در حالی که همیاری ایندوسیانین گرین و انرژی نورانی موجبات مرگ سلولی را فراهم کرده است. در واقع ترکیب نور و ایندوسیانین گرین می‌تواند برای رده‌های سلولی مورد مطالعه، مخرب و مهاجم محسوب شود.

در ادامه نتایج حاصل از پرتودهی سلول‌ها با دوزهای ۲،



شکل ۹. تغییرات درصد بقای سلولی MCF7 در دوزهای پرتوی مختلف

زمان انکوپاسیون با ایندوسیانین گرین ۲۴ ساعت و داده‌ها یالنگر می‌گنجین درصد بقای سلولی +خطای استاندارد پس از سه بار تکرار می‌باشند.



شکل ۱۰. تغییرات درصد بقای سلولی DFW در دوزهای پرتوی مختلف

زمان انکوپاسیون با ایندوسیانین گرین ۲۴ ساعت و داده‌ها یالنگر می‌گنجین درصد بقای سلولی +خطای استاندارد پس از سه بار تکرار می‌باشند.

بهینه‌سازی درمان‌های فتوداینامیک و طراحی درمان‌های ترکیبی آن با سایر شیوه‌ها نظیر شیمی‌درمانی بتواند دوز مورد نیاز داروهای سمی را در این درمان‌ها کاهش داده و با بروز همیاری یا آثار افزاینده در شیمی‌درمانی موجبات کاهش عوارض جانبی داروها را فراهم آورد (۱۳).

در این مطالعه نشان داده شد که ایندوسیانین گرین حتی در غلظت‌های پایین نظیر ۵۰ میکرومولار، می‌تواند ماده حساس‌کننده نوری قابل توجهی در درمان فتوداینامیک به نور غیرهمدوس با قله جذب 730 nm باشد. با توجه به نتایج حاصله می‌توان گفت تقریباً سه برابر شدن دوز ایندوسیانین گرین توانسته است دوز نوری مورد نیاز برای کشنن نیمی از سلول‌ها را به نصف کاهش دهد. همچنین در غلظت‌های ۵۰ و ۱۰۰ میکرومولار با دوز نوری $108\text{ }\mu\text{J}$ بر سانتی‌متر مربع بقای سلولی نزدیک به صفر حاصل شده است. در مقایسه با مطالعات مشابه (۱۴) می‌توان نتیجه گرفت که درمان فتوداینامیک با استفاده از ایندوسیانین گرین می‌تواند به عنوان یک درمان مؤثر برای سرطان پستان و ملاتوما مطرح شود. در مطالعه‌ی حاضر با وجود استفاده از غلظت‌های پایین‌تر و استفاده از نور غیرهمدوس با طول موج 730 nm نسبت به مطالعه مشابه (۱۴) که بر روی سلول‌های ملاتومای انسانی و موشی با استفاده از رنگداروی ایندوسیانین گرین و لیزر انجام شده است، دیده می‌شود که نتایج هر دو مطالعه بیانگر حساسیت نوری ایندوسیانین گرین می‌باشد که این نشان‌دهنده تحریک مناسب رنگ داروی ایندوسیانین گرین در طول موج 730 nm می‌باشد.

البته برای تجویز یک پروتکل درمانی مناسب در این زمینه مطالعات درون تی روی تومورهای انسانی مورد نیاز است. از آنجا که در تاریکی، سمیتی حتی در غلظت‌های

شکل‌های ۹ و ۱۰ داده‌های حاصل از پرتودهی سلول‌های انکوبه شده با ایندوسیانین گرین را با اشعه ایکس نشان می‌دهد. از آنجا که تفاوت معنی‌داری در بقای سلولی بین گروه‌های دریافت کننده ایندوسیانین گرین و پرتو با گروه‌هایی که تنها پرتودهی شده‌اند، در هیچیک از رده‌های سلولی دیده نمی‌شود ($P \geq 0.87$)، به‌نظر نمی‌رسد ایندوسیانین گرین بتواند در زمرة مواد حساس‌کننده به پرتو قرار گیرد.

بحث

درمان فتوداینامیک که متنکی بر تجمع مولکول‌های حساس به نور در سلول‌های سرطانی و تابش نور با طول موج مناسب به آنها می‌باشد، در اثر ایجاد اکسیژن یگانه و رادیکال‌های آزاد باعث از بین رفتن بافت‌ها و سلول‌های سرطانی می‌شود. یافتن حساس‌کننده‌های با حداقل سمیت سلولی در تاریکی و طول موج حساس‌سازی در ناحیه $650-850\text{ nm}$ از جمله راههای کاهش عوارض جانبی و افزایش عمق درمان‌های فتوداینامیک است. با توجه به وقوع پدیده فتوبلیچینگ در شدت‌های بالای نوردهی، تابش نور در دانسته و توان کمتر می‌تواند پاسخ درمانی مناسب‌تری فراهم نماید. از طرف دیگر استفاده از منابع لیزری نظیر دایلیزر، لیزر بخار مس و آرایه‌های دیودی توانسته است عمق نکروز مشابهی با نور فیلترشده لامپ‌ها بیار آورد (۱۲). شاید بتوان یکی از مزایای عمدۀ درمان فتوداینامیک را موضعی‌بودن درمان و رسیدن کمترین آسیب ممکن به سلول‌های سالم و طبیعی بیان کرد. این در حالی است که در روش‌های تهاجمی معمول برای درمان سرطان علاوه بر سلول‌های سرطانی به سلول‌های سالم نیز آسیب قابل ملاحظه‌ای وارد می‌شود. امید می‌رود توسعه و

می باشد (۱۵).

ایندوسیانین گرین در غلظت‌ها و دوزهای پرتوی به کار گرفته شده در این تحقیق پس از پرتوگیری نسبت به گروه کنترل تفاوت معنی‌داری نشان نداده است. همچنان حضور ایندوسیانین گرین ضمن پرتودهی اثر افتراقی نسبت به گروهی که دارو دریافت نکرده ایجاد ننموده است. بنابراین می‌تواند بیانگر عدم حساسیت پرتوی ایندوسیانین گرین باشد.

سپاسگزاری

نویسنده‌گان بر خود لازم می‌دانند از معاونت پژوهشی دانشگاه علوم پزشکی مشهد که هزینه انجام این تحقیق را فراهم نمودند تشکر و سپاسگزاری نمایند. همچنان از همکاری‌های صمیمانه آقای دکتر سمعی دانشجوی دستیاری تخصصی ایمونولوژی، خانم عباسی کارشناس آزمایشگاه و آقای لایق کارشناس ارشد فیزیک پزشکی و کارکنان محترم بخشن پرتو درمانی بیمارستان امید مشهد قدردانه می‌شود.

بالای ایندوسیانین گرین مشاهده نشده است، شاید بتوان از این دارو و طول موج جذب ۷۳۰ نانومتر آن برای درمان‌های سطحی و سرطان‌های متاستاتیک با استفاده از لامپ‌های غیرهمدوس که منطقه وسیعی را تحت تابش قرار می‌دهند، بهره‌برداری نمود. بهویژه سمی‌نبودن ایندوسیانین گرین در غیاب نور آن را به عنوان یک حساس‌کننده نوری ایده‌آل در درمان برخی بیماری‌های چشمی مطرح می‌سازد (۱۱). همچنان طول موج جذب آن در ناحیه فروسرخ این امکان را فراهم می‌سازد که در درمان بدخیمی‌های نسبتاً عمقی نیز مورد استفاده واقع شود.

با توجه به پرتودهی سلول‌ها به طور جداگانه بدون حضور ایندوسیانین گرین و LD50 مورد نیاز برای هر سلول به‌نظر می‌رسد رده سلولی MCF7 در مقایسه با DFW در برابر دوزهای بالای پرتوهای ایکس از مقاومت پرتوی پیشتری برخوردار است. در مطالعه‌ای که بر روی سلول‌های پروستات انجام شده است، اثر حساس به پرتو بودن ایندوسیانین گرین مورد بررسی قرار گرفته است که نتایج حاصل از آن نیز مشابه نتایج به‌دست آمده از این تحقیق

Photosensitivity and Radiosensitivity of Indocyanine Green on Human Cell Lines MCF7 and DFW

Sazgarnia A., Ph.D.¹, Bahreini Toosi S.M.H., Ph.D.², Montazerabadi A.R., M.Sc.^{*3}, Al.Davood S.A., Ph.D.⁴, Esmaeili H.A., Ph.D.⁵

1. Assistant Professor of Medical Physics, Medical Physics Research Center, Mashhad University of Medical Sciences, Mashhad, Iran

2. Professor of Medical Physics, Medical Physics Research Center, Mashhad University of Medical Sciences, Mashhad, Iran

3. Instructor of Medical Physics, School of Medicine, Kerman University of Medical Sciences, Kerman, Iran

4. Assistant Professor of Radiotherapy, Cancer Research Center, Omid Hospital, Mashhad University of Medical Sciences, Mashhad, Iran

5. Assistant Professor of Biostatistics, Mashhad University of Medical Sciences, Mashhad, Iran

* Corresponding author, e-mail: a.abadi@kmu.ac.ir

(Received 30 Oct. 2008 Accepted 13 May 2009)

Abstract

Background & Aims: In this study with the aim of benefiting from non-laser sources in photodynamic therapy, photo and radio sensitivity of indocyanine green as a sensitizer in photodynamic and radiation therapies were investigated.

Methods: Based on the broad absorption peak of indocyanine green and using non-coherent light, the experiments were performed on human cells derived from breast cancer and melanoma. To investigate chemical, optical and radiational cytotoxicity and also photosensitivity and radiosensitivity of indocyanine green, different doses of this material were examined. After 24 h of incubation of cells with indocyanine green, independent treatment groups were exposed to 730 ± 20 nm light with power densities of 30, 60, and 108 J/cm^2 and 100 kV_p x-ray (2 and 4 Gy). The effect of therapy on cells was determined by MTT test.

Results: Indocyanine green showed no significant cytotoxicity. It had a good efficiency for photodynamic therapy using non-coherent sources in the wavelength of 730 ± 20 nm, and the efficiency of treatment was dependent on the dosage of light. No significant relation between indocyanine green and radiation was observed.

Conclusion: According to the findings, indocyanine green can be used as a photosensitizer in the range of 730 ± 20 nm. Since there was no significant difference between groups which received both radiation and drug and those which received only radiation, indocyanine green cannot be considered as a radiosensitizer.

Keywords: Photodynamic therapy, Breast Neoplasms, Melanoma, Indocyanine Green, Radio sensitivity Non-coherent

Journal of Kerman University of Medical Sciences, 2009; 16(4): 319-331

References

1. Cheah PS, Ling KH, Crouse KA, Rosli R. Characterization of the S-benzyldithiocarbazate effects on cell proliferation and oncogene expression in human breast cancer cells. *J Med Biol Sci* 2007; 1: 1-7.
2. Early Breast Cancer Trialists' Collaborative Group .Tamoxifen for early breast cancer: an overview of the randomised trials . 1998;

- 351: 1451-67.
3. Lavz S. Causes, diagnosis and ways to prevent breast cancer. Farsi translation by Nazeri T, Tehran, Peyman publication, 1998.[In Persian]
 4. Melanoma. 2008. Available at: <http://www.cancer.gov/cancertopics/types/melanoma>. Accessed Apr. 3rd 2008.
 5. Taber S.W, Fingar V.H, Wieman T.J. Photodynamic therapy for palliation of chest wall recurrence in patients with breast cancer. *J Surg Oncol* 1998; 68(4): 209-14.
 6. Ochsner M. Photophysical and photobiological processes in the photodynamic therapy of tumours. *Photochem Photobiol B* 1997; 39(1): 1-18.
 7. Sazgarnia A, Khoie A, Behreyni M.H, Mahmoudi M, Faizi R. *In Vitro* and *In Vivo* studies on enhanced effects of electrical pulses in photodynamic therapy with 5ALA. *J Med Phys* 2006; 3(11): 37-51 [In Persian].
 8. Brooks SC, Locke ER, Soule HD. Estrogen receptor in human cell line (MCF-7) from breast carcinoma. *J Biol Chem* 1973; 248(17): 6251-3.
 9. Cell Line Collections. Available at: <http://ncbi.pasteur.ac.ir/Collections.htm> Accessed Apr. 3rd 2008.
 10. LumaCare company publication. Catalogue of LumaCare system, 2002.
 11. Sawa M, Awazu K, Takahashi T, Sakaguchi H, Horiike H, OhJi M, et al. Application of femtosecond ultrashort pulse laser to photodynamic therapy mediated by indocyanine green. *Br J Ophthalmol* 2004; 88(6): 826-31.
 12. Dougherty TJ, Gomer CJ, Henderson BW, Jori G, Kessel D, Korbelik M, et al. Photodynamic therapy. *J Natl Cancer Inst* 1998, 90(12): 889-905.
 13. Crescenzi E, Chiavello A, Canti G, Reddi E, Veneziani BM, Palumbo G. Low doses of cisplatin or gemcitabine plus Photofrin/photodynamic therapy: Disjointed cell cycle phase-related activity accounts for synergistic outcome in metastatic non-small cell lung cancer cells (H1299). *Mol Cancer Ther* 2006; 5(3): 776-85.
 14. Urbanska K, Romanowska-Dixon B, Matuszak Z, Oszajca J, Nowak-Sliwinski P, Stochel G. Indocyanine green as a prospective sensitizer for photodynamic therapy of melanomas. *Acta Biochim Pol* 2002; 49(2): 387-91.
 15. Colasanti A, Kisslinger A, Quarto M, Riccio P. Combined effects of radiotherapy and photodynamic therapy on an in vitro human prostate model. *Acta Biochim Pol* 2004; 51(4): 1039-46.